

軟弱地盤上の橋梁基礎設計施工の1例について

広島県土木建築部道路建設課

○正員 山本弘史

広島県竹原土木事務所

正員 塚野義明

K.K. 福山コンサルタント

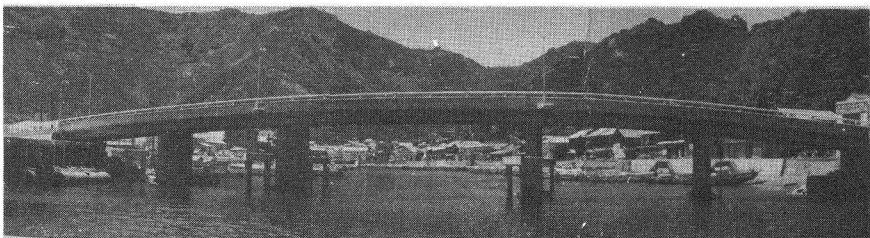
正員 福山俊郎

まえがき

大長橋は広島県瀬戸内海の商島 豊田郡大崎下島の循環道路改良工事の中の 長さ64.0m 中員6.0mの鉄筋コンクリートボロースラブ連続橋であるが、地盤が極めて軟弱で海底下深さ30mに亘ってN値1~3のシルト層を基盤として建設せねばならなかつた。そのため基礎構造としてリバースサーキュレーション工法を採用した。

従来、考へられて来たように上部構造の弾性を考慮に入れるので、杭の水平抵抗力の計算をすると非常に大量の杭を採用せねばならぬ。しかし上部構造を水平力に対する弹性EIを持つ梁と考え、水平面内の地震時水平力を等分布荷重として、かつ杭の横抵抗力を支承ばねと考えて変形法による電算解析を行えば、梁のEIと支承のはね定数の関係によつて、梁と支承変位と応力及び、支承反力を計算することが出来る。それで杭のはね定数を種々変化させて考察することによつて、安全かつ経済的な基礎工を設計することが出来るわけである。そのため杭にかかる外力と変形の関係を通常使われて来る計算式によつて求め、それをばね定数として上部構造の応力と反力の分布を求めて、

[大長橋 基工写真]



1. リバースサーキュレーション杭の施工について

1) 概要

場所打コンクリート杭基礎工法には、ベノト工法、アースドリル工法と並んで、最近の工法といわれている、リバースサーキュレーション工法がある。昭和37年西ドイツ、ザルツギッター社の機械が輸入されて以来、橋梁、建物の基礎杭孔掘削にその威力を示している。

ドリルパイプの内径150mm、吸水ポンプ能力4000 l/min で150mm以内の塊状物が通過出来るようになっていいる。ピットは孔底をころがり廻るのみで刃先で土を切る方式ではなく、孔底をかきまわす働きをする。したがつて溶剤抵抗は極めて強く、アースドリルのような大きな掘削トルクは必要としない。

2) 施工について

一般的的には、リバース工法はケーシングを使用しないのが原則であるが、本橋梁工事は軟弱地盤上

で表面は非常に軟い有機土ぶれきも海中施工であるため、約2.0mの水頭を保持させるためこれを採用した。

ケーシングの長さ及び空の決定について、根入、自重及び潮流等を考慮し、水頭2.0mで長さ12.50m空1.2m肉厚9mm重量約3tのものを使用した。孔内水頭の確保のため6インチ水中ポンプ2台を使用し孔内崩壊のおそれがあると連続運転をした。掘削速度については水圧の不均衡とするため制限速度を4.5m/h以下におさえた。鉄筋建込み及びコンクリート打設等には吊り能力10t/m斜高18.0m起重機を用いた。本工事は海上であるので土運搬船に積込み、実船倉庫を行った。そのため詳細な施工計画及び順序は専門スライドで説明する予定である。

3) 施工上のあとがき

施工上の問題点として次の二点が挙げられる。

- 1) 堀削速度と堀削孔空との関係
- 2) 堀削速度とコンクリート割増率との関係
- 3) 砂礫層の掘削
- 4) 薄接構造物への影響

本工事では杭総本数23本、杭孔空1,016mmのコンクリート打設記録によれば、堀削深さ18.7m、杭長37.2.7m、コンクリート打設数量365.2m³その理論量292.50m³割増率24.8%，コンクリート運搬数量371.7m³、運搬量と割増率の関係は1.75%，ピット空1,016mmに対して平均推定直空1,119mmの記録となる。

次にリバース堀削速度及び燃料消費料については堀削長さ318.7mに対して堀削時間21時間50分、リバースドリル運転時間242時間50分 燃料消費量3240l

なお、参考のため施工人工の全体と平均を次に示す³⁾

	(合計)	(平均)
リバース船機装置	N.O.1~N.O.23まで	34.0人
ケーシング打込み	"	104.3
堀削	"	320.4
スペイナル打込み	"	27.8
鉄筋建込み	"	96.2
トレミー打込み	"	29.3
コンクリート打設	"	278.7
ケーシング引抜	"	48.0
杭ハツリ	"	55.3
その他	"	166.6
リバース船解体	"	18.0

2. 変形法による面内荷重を受ける構造物の支承の問題

面内荷重を受ける構造物は部材の釣合方程式、部材の変形条件式及び部材端の変形と節点の変形の関係式(連合条件式)から次の関係式が成立する。¹⁾

$$(D K D^T + P \lambda P^T) Y = P^T = P - A C^T E_{fa} - B C^T E_{fb} \dots (1) \quad R = \lambda P^T Y \dots (2)$$

$$D = \begin{bmatrix} 8XL^{-1} & 8YL^{-1} & 0 \\ 8YL^{-1} & 8XL^{-1} & 0 \\ 0 & \frac{1}{2}M_L & \frac{1}{2}S_L \end{bmatrix} \quad R = \begin{bmatrix} EA_L & 0 & 0 \\ 0 & 12EI_L^{-3} & 0 \\ 0 & 0 & 4EI_L^{-3} \end{bmatrix}$$

$$P = \begin{bmatrix} 1 & 0 & 0 \\ 0 & 1 & 0 \\ 0 & 0 & 1 \end{bmatrix} \quad \lambda = \begin{bmatrix} \Delta_{xx} & \Delta_{xy} & \Delta_{zo} \\ \Delta_{yx} & \Delta_{yy} & \Delta_{yo} \\ \Delta_{oz} & \Delta_{oy} & \Delta_{zo} \end{bmatrix} \quad Y = \begin{bmatrix} X_P \\ Y_P \\ O_P \end{bmatrix}$$

$$P' = \begin{bmatrix} P_x' \\ P_y' \\ M_z' \end{bmatrix} \quad P = \begin{bmatrix} P_x \\ P_y \\ P_z \end{bmatrix} \quad A = \begin{bmatrix} 0 & 0 & 0 \\ 0 & 0 & 0 \\ 0 & 0 & 0 \end{bmatrix} \quad B = \begin{bmatrix} B & 0 & 0 \\ 0 & B & 0 \\ 0 & 0 & B \end{bmatrix}$$

$$O = \begin{bmatrix} XL^{-1} & YL^{-1} & 0 \\ YL^{-1} & XL^{-1} & 0 \\ 0 & 0 & EI \end{bmatrix} \quad \lambda = \begin{bmatrix} \Delta_{xx} & \Delta_{xy} & \Delta_{zo} \\ \Delta_{yx} & \Delta_{yy} & \Delta_{yo} \\ \Delta_{ox} & \Delta_{oy} & \Delta_{zo} \end{bmatrix}$$

$$E_{fa} = \begin{bmatrix} IV_a \\ S_{fa} \\ M_{fa} \end{bmatrix} \quad E_{fb} = \begin{bmatrix} IV_{fb} \\ S_{fb} \\ M_{fb} \end{bmatrix}$$

$$E_a' = \begin{bmatrix} IV_a' \\ S_a' \\ M_a' \end{bmatrix}, \quad E_a = \begin{bmatrix} IV_a \\ S_a \\ M_a \end{bmatrix}, \quad E = \begin{bmatrix} EI, 0, 0 \\ 0, EI, 0 \\ 0, \frac{1}{2}EI, \frac{1}{2}EI \end{bmatrix}$$

$$E_b' = \begin{bmatrix} IV_b' \\ S_b' \\ M_b' \end{bmatrix}, \quad E_b = \begin{bmatrix} IV_b \\ S_b \\ M_b \end{bmatrix}, \quad I = \begin{bmatrix} -EI, 0, 0 \\ 0, -EI, 0 \\ 0, \frac{1}{2}EI, -\frac{1}{2}EI \end{bmatrix}$$

$$R = \begin{bmatrix} H_Y \\ V_Y \\ M_Y \end{bmatrix}$$

入は支承のばね定数であつて、支承方向にテナの成分をもつてゐる。このうち相互作用の定理によつて $\Delta_{xy} = \Delta_{yx}$, $\Delta_{zo} = \Delta_{ox}$, $\Delta_{oy} = \Delta_{yo}$, であるから独立のばね定数は 6 個である。これを支持条件に応じて半々と上部構造物と基礎構造の総合的解折ができるわけである。ばね定数は支承にかかる外力を支承の変化 (X 方向, Y 方向 又は 回転まわりの回転即ち O) で割つたものであつて、基礎構造の種類に応じてどのようにも計算出来る。ついでばね定数について述べることにする。

3. 桁基礎についてのばね定数の決定 (Y.L. Chang)

橋脚及び橋台は图に見るよろ高さの低い壁構造であるから、横方向の曲げ变形とせん断变形は無視出来る。水平力による基礎の回転よりも橋長さと上の横方向抵抗力とから考えて、橋の横変位の方を優先すると考へて、そこで橋台については基礎下端が接地しているので橋頭固定の地中に埋込子れの橋の水平力 H と水平移動量 δ との関係から求めめる。

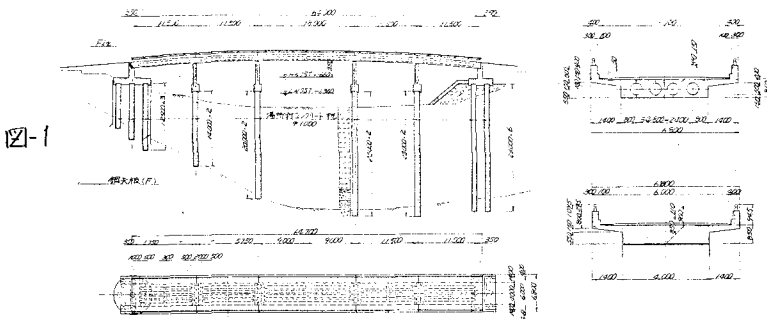


図-1

$$\Delta \theta = \frac{H}{\delta} = \frac{KD}{\beta}$$

橋脚については基礎下端が海中にあつて杭の上部が海底面から出でているので杭頭固定で地上へ $18m$ の杭の水平力 H と水平移動量 δ との関係を求めることが出来る。

$$\Delta \theta = \frac{H}{\delta} = \frac{CEI\beta^3}{(1+\beta)^3 + 2}$$

ここで λ , γ , ρ の座標系は 図-2 のようである。

A	P_1	P_2	P_3	P_4	A_2
$\sum \lambda A_1$	$\sum \lambda P_1$	$\sum \lambda P_2$	$\sum \lambda P_3$	$\sum \lambda P_4$	$\sum \lambda A_2$
11500	11500	18000	11500	11500	
					64.000

$$EI = \text{Const.}$$

4. 設計 K について

中央往間は航路の関係で $18m$ の異径鋼連続橋であり起岸側は深度 $6.3m$ の風化岩の上 KN 値 $5 \sim 15$ の粘土混り砂礫層であり、 $D_b = 0.15 \sim 0.30$, $E = 1.6 \frac{kg}{cm^2}$ であるのと、中央部及び終岸側橋台附近は深度 $17.50m$ 以深の風化岩上に粘土質シルトが堆積している。 $N < 3$ で $E = 5.2 \frac{kg}{cm^2}$ であつた。そのため橋深中の縦直角方向の地震時水平力分担が終岸側に集中するのを防ぐため終岸側 K も相当量の杭を配置し、土の横方向抵抗係数もそれを考慮した値を用いた。

横方向地盤係数 λ はプレンオメーターの測定で $0.2 \sim 1.1 \frac{kg}{cm^2}$ であるので計算値として $0.15 \frac{kg}{cm^2}$ とした。杭径は $1m$ でコンクリートの E は $2.1 \times 10^5 \frac{kg}{cm^2}$ とした。そのときの λ の値は $\sqrt{\frac{KD}{4EI}} = 0.158 \times 10^{-2} (\text{cm}^2)$ である。

杭の横抵抗をばねと考えたためには、地震時水平力に対して、杭の水平移動量は復元しなければならぬ。よってその限度は次式によつて求めた。²⁾

$$\delta_f = \frac{P_f}{k} \quad \therefore K \quad \left\{ \begin{array}{l} \delta_a : \text{許容水平変位} \\ P_f : \text{流動圧} \\ k : \text{横方向地盤係数} \end{array} \right.$$

起岸側ボーラーント No.1 K について (A_1 側)

$$P_f = 1.20 \frac{kg}{cm^2}, \quad k = 0.6 \frac{kg}{cm^2}, \quad \delta_f = \frac{120}{0.6} = 20 \text{ cm}$$

ボーラーント No.2, No.3 (Pf および A_2 側) K について

$$P_f = 0.40 \frac{kg}{cm^2}, \quad k = 0.10 \frac{kg}{cm^2}, \quad \delta_f = \frac{0.40}{0.10} = 4.0 \text{ cm}$$

各支点即ち橋台及び橋脚の杭の本数、半径半数、土性、荷重、分担水平力、杭頭変位及び地表面に

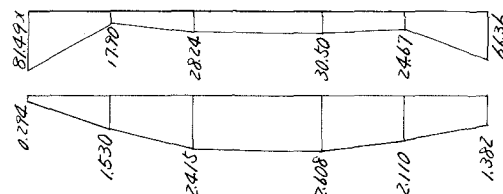
おける杭の変位量を(表-1)に示す。

(表-1)

	単位	A_1	P_1	P_2	P_3	P_4	A_2
杭本数	本	9	2	2	2	2	6
ばね定数	N/m	27,690	1051	1051	1051	1051	4800
土性	横方向地盤反力	N/cm ³	0.60	0.10	0.10	0.10	0.10
	流動圧	N/cm ²	1.20	4.00	4.00	4.00	4.00
	許容変位量	cm	2.0	4.0	4.0	4.0	4.0
荷重項	上部地盤力	t	11,561	23,122	29,656	29,656	23,122
	下部 " "	t	28.7	11.5	11.5	11.5	24.0
	轟込土 " "	t	18.40	0	0	0	8.5
分担水平半力	上部地盤力	t	31,577	12,114	1,9645	20,897	15,192
	下部 " "	t	37,105	5,887	8,377	9,606	8,534
	轟込土 " "	t	12,737	0.284	0.221	0.284	0.146
	合計	t	81,419	17,875	28,243	30,504	24,672
杭頭変位	上部地盤力	cm	0.114	1.153	1.868	1.988	1.005
	下部 " "	cm	0.134	0.532	0.797	0.914	0.812
	轟込土 " "	cm	0.046	0.027	0.021	0.046	0.080
	合計	cm	0.294	1.703	2.687	2.948	2.347
地表面変位	cm	0.294	1.530	2.415	2.608	2.110	1.382

図-3は支承反力分布、即ち橋台及び橋脚が受けた分担水平力及び杭頭の変位を示す。

反力分布
(図-3)



変位量

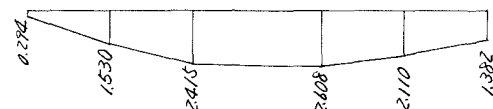
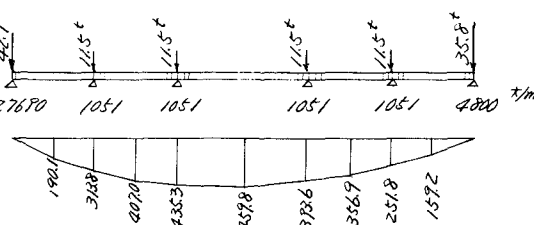


図-4は地震時水平力による梁の水平面内の曲げモーメント図である。

図-4) ばね定数
27,690 1051 1051 1051 1051 1051 4800 t/m



5 結び

軟弱地盤上の構造を弹性支持と考えることで問題があるが、地盤の変形の復元の可能な範囲の変形を仄めくことが出来、その範囲内の変形で問題を処理すれば、実際に近い構造物の変形及び応力を求めることが出来ると考えられる。これが許されれば変形法の式を三次元へ拡張して〔入〕を適当に定めれば、電子計算機の容量が大きくなりさえすれば、立体的弹性支持構造物の解析も容易である。このことは平面構造物の面内荷重の問題の例と並んで、ばね定数と之実際問題に適合するよう定めることができればどのような支持条件に対しても解析が可能となつてゐる。

支承の支持力係数を考慮した範囲でそれぞれ変化させて計算し、その組合せと適当に並んで比較すれば、軟弱地盤上の構造物の設計に対してより大きな信頼度と経済性が得られるわけである。

参考文献

- 1) 大地羊三 機械計算機による構造解析 橋梁 Vol.2 NO.1~NO.10
- 2) 森 博 重直荷重及び水平力を受ける鋼杭の性状に関する研究
土木学会論文集 No. 123号
- 3) 施工資料 施工者 五洋建設株式会社